

# پتانسیل سنجی انرژی باد برای نصب توربین بادی در استان سیستان و بلوچستان

سید امین رضویه<sup>۱</sup>، احمد صداقت<sup>۲</sup>

۱- کارشناس ارشد، دانشکده مهندسی مکانیک، دانشگاه صنعتی اصفهان

۲- استادیار، دانشکده مهندسی مکانیک، دانشگاه صنعتی اصفهان (نویسنده مسئول)

sa.razavieh@me.iut.ac.ir  
sedaghat@cc.iut.ac.ir

چکیده

در تحقیق حاضر، پتانسیل نصب توربین باد در سه ایستگاه خاش، لوتک و نصرت‌آباد در استان سیستان و بلوچستان بررسی شده است. این مطالعه با استفاده از داده‌های بادی شامل سرعت و جهت باد در ارتفاع‌های ۱۰، ۳۰ و ۴۰ متر در فواصل زمانی ۱۰ دقیقه در طول سال انجام گرفته است. دانستن توزیع فراوانی سرعت باد یک عامل بسیار مهم برای ارزیابی بادخیزی یک منطقه است که در این تحقیق از تابع توزیع ویبول که در مطالعات بادی پرکاربرد است استفاده شده است. میانگین سرعت باد و چگالی توان متوسط ماهیانه در سه ایستگاه و ارتفاع‌های مختلف بررسی شده و نشان می‌دهند ایستگاه خاش و نصرت‌آباد برای نصب گسترده توربین بادی مناسب نیستند اما برای استفاده محلی از انرژی باد برای به کارگیری سیستم‌های الکتریکی و مکانیکی بسیار مناسبند اما ایستگاه لوتک دارای پتانسیل بسیار بالایی برای نصب مزرعه بادی است.

کلمات کلیدی: انرژی باد، توزیع ویبول، سیستان و بلوچستان، گلبداد، توربین باد

# Wind potential assessment for installing wind turbine in the province of Sistan and Baluchestan

A.Razavieh<sup>1</sup>, A.Sedaghat<sup>2</sup>

1 – M.Sc. graduate, Department of mechanical engineering, Isfahan University of Technology (IUT) 84156-83111, Isfahan, Iran

2- Assistant professor, Department of mechanical engineering, Isfahan University of Technology (IUT) 84156-83111, Isfahan, Iran

(Corresponding author)

[sa.razavieh@me.iut.ac.ir](mailto:sa.razavieh@me.iut.ac.ir)

[sedaghat@cc.iut.ac.ir](mailto:sedaghat@cc.iut.ac.ir)

## Abstract

In the present study, wind potentials in three regions, Khash, Lootak, and Nosratabad are investigated in the province of Sistan and Baluchestan. Annual wind measurements including wind speed and wind directions were made in the three heights of 10, 30, and 40 meters for 10 minute intervals by meteorological organization of Iran. Wind speed distributions are important for evaluating wind potentials in certain geological regions; therefore, the widely accepted Weibull distribution function is adopted here to model the wind measurement data. Weibull parameters include shape factor,  $k$ , and scale factor,  $c$ , which are calculated together with standard deviation for each three regions at different heights. Higher values of the shape factor,  $k$ , leads to sharper peaks which show less variation in wind speed. The scale factor,  $c$ , is a measure for windy regions. Root mean square (RMSE) is used to assess quality of the fitting Weibull function into the wind measurement data. The average wind speeds are calculated during months of the years 2008 to 2010. It is observed that, the average annual wind speed in Khash station are 3.8, 4.32, and 4.57 m/s for the heights of 10, 30, and 40 meters; respectively. In Lootak station, these values are 4.56, 6.28, and 6.54 m/s, respectively. Nosratabad station posses the annual average wind speed of 4.82 and 5 m/s for the heights of 30 and 40 meters, respectively. The average monthly wind power density is also evaluated for the three stations in different heights. In Khash station, this shows that the annual averaged wind power density of 86 W/m<sup>2</sup> for the height of 10 meters, 114 W/m<sup>2</sup> for the height of 30 meters, and 132 W/m<sup>2</sup> for the height of 40 meters. Similarly, it is observed for Nosratabad that the annual averaged wind power density of 125 W/m<sup>2</sup> in 30 meters height, 144 W/m<sup>2</sup> in 40 meters height can be achieved. Therefore, these stations are categorized as the weak sites for in-grid wind power generation and are recommended for off-grid local use for electricity or mechanical power generation. Further study reveals that Lootak station with the annual averaged wind power density of 157 W/m<sup>2</sup> in 10 meters height, 344 W/m<sup>2</sup> in 30 meters height, and 388 W/m<sup>2</sup> in 40 meters height has possess a good potential for in-grid electrical power generation. Finally, wind rose diagram which indicates wind direction distribution is plotted for the three stations to prevail the dominant wind direction for installing wind turbines.

**Keywords:** Wind energy, Wiebull distribution, Sistan and baluchestan, Wind rose, Wind turbine

## ۱. مقدمه

### ۱.۱. تاریخچه استفاده از انرژی باد

بشر از زمانهای بسیار دور انرژی باد را به شیوه‌های مختلف بکار گرفته است. ایرانیان اولین کسانی بودند که در حدود ۲۰۰ سال قبل از میلاد مسیح برای آردکردن غلات از آسیاب‌های بادی استفاده کرده‌اند که امروزه آثار آن در نواحی خواف و تایباد در شرق کشور به چشم می‌خورد. همچنین مصریان باستان از نیروی باد برای راندن کشتی‌های خود روی رودخانه نیل استفاده کردند. نصب بادبان به یک محور مرکزی که با استفاده از نیروی باد تولید نیروی چرخشی می‌کرد بعداً انجام گرفت و بشر به وسیله آن توانست نیروی لازم را برای آبکشی به منظور آبیاری، آرد کردن غلات و سرانجام ارده کردن چوب بدست آورد. در قرن هفدهم میلادی، مردم هلند طرح پایه آسیابهای بادی را بهبود دادند. همین امر باعث شد تا این کشور در زمرة غنی‌ترین و صنعتی‌ترین کشورهای اروپا قرار گیرد. برخی از کشورها آسیاب‌های بادی را برای آسیاب‌گندم و ذرت، پمپ کردن آب و قطع درختان استفاده کرده‌اند.<sup>[۱]</sup>

مساحت مطلوب جهت نصب توربین بادی $10^3 (km^2)$	کل سطح خشکی $10^3 (km^2)$	منطقه
۷۸۷۶	۱۹۳۳۹	آمریکای شمالی
۳۳۱۰	۱۸۴۸۲	آمریکای لاتین
۱۹۶۸	۴۷۴۲	اروپای غربی
۶۷۸۳	۲۳۰۴۷	اروپای شرقی
۲۵۶۶	۸۱۴۲	خاورمیانه و شمال آفریقا
۲۲۰۹	۷۲۵۵	آفریقای زیر صحرا
۴۱۸۸	۲۱۳۵۴	اقیانوس آرام
۱۰۵۶	۹۵۹۷	چین
۲۴۳	۴۲۹۹	آسیای مرکزی و جنوبی
۲۹۱۴۳	۱۰۶۶۶۰	جمع

### ۳.۱. مزایای استفاده از باد

- می‌توان مزایای زیر را در بهره‌برداری از انرژی باد، نام برد:
- عدم نیاز توربینهای بادی به سوخت که در نتیجه از میزان مصرف سوخت‌های فسیلی می‌کاهد.
  - رایگان بودن انرژی باد
  - توانایی تأمین بخشی از تقاضای انرژی برق
  - کمتر بودن نسبی قیمت انرژی حاصل از باد در بلند مدت
  - تنوع بخشیدن به منابع انرژی و ایجاد سیستم پایدار انرژی
  - قدرت مانور زیاد جهت بهره‌برداری در هر ظرفیت و اندازه (از چندوات تا چندین مگاوات)
  - عدم نیاز به آب
  - عدم نیاز به زمین زیاد برای نصب
  - ایجاد اشتغال
  - نداشتن آلودگی زیست محیطی<sup>[۲]</sup>

### ۴.۱. آینده انرژی باد در ایران

بازار تأمین انرژی یک بازار رقابتی است که در آن تولید برق در نیروگاههای بادی در مقایسه با نیروگاههای سوخت‌های فسیلی

### ۲.۱. پتانسیل کشورهای مختلف در مورد انرژی بادی

تولید انرژی باد به طوری که بتوان آن را به عنوان پتانسیل نهایی تعریف کرد، مورد مطالعه قرار گرفته است. در سال ۱۹۸۱ میلادی «انستیتو بین المللی تحلیل سیستم‌های کاربردی» تخمین زد که امکان بالقوه فنی نهایی باد در جهان برابر  $TWh$  ۲۶۰۰ در سال است. با در نظر گرفتن محدودیت‌های اقتصادی می‌توان قبول کرد که ۳۳ درصد این مقدار انرژی یعنی  $TWh$  ۹۰۰۰ قابل وصول می‌باشد (معادل نیروگاهی به قدرت  $TW$  ۱ که  $24 \times 365$  ساعت در سال کارکند). از نقشه جهانی باد تخمین زده می‌شود که ۲۷ درصد مساحت خشکی‌های کره زمین (تقریباً  $10^6 km^2 \times 107$ ) در معرض وزش باد با سرعت متوسط سالانه بیش از ۵/۱ متر بر ثانیه یا  $18/3$  کیلومتر بر ساعت در ارتفاع ۱۰ متری از سطح زمین قرار دارد.<sup>[۲]</sup>

جدول ۱ مساحت خشکی‌های زمین را که در معرض وزش باد با سرعت‌های مختلف بیش از ۵/۱ متر بر ثانیه قرار دارند نشان می‌دهد.

مختلف در معرض بادهای موسمی و فصلی است که اهم این جریانات بادی عبارتند از: باد ۱۲۰ روزه سیستان (لوار)، باد قوس، باد هفتم (گاوهکش)، باد نم بی یا باد جنوب، باد هوشک، بادهای مرطوب و موسمی اقیانوس هند، باد شمال یا گوریج و باد غربی یا گرد<sup>[۴]</sup>. در شکل‌های ۱ و ۲ محل جغرافیایی استان سیستان و بلوچستان و شهرهای آن نشان داده شده است.



شکل ۱: محل استان سیستان و بلوچستان در ایران



شکل ۲: محل جغرافیایی شهرهای استان سیستان و بلوچستان در ایران

## ۲. روش‌های تحلیل داده‌های بادی منطقه ۲.۱.۲. تابع توزیع سرعت باد<sup>۱</sup>

دانستن توزیع فراوانی سرعت باد یک فاکتور بسیار مهم برای ارزیابی پتانسیل انرژی باد برای مناطق بادخیز است. اگر توزیع سرعت باد در هر منطقه بادی مشخص باشد، توان باد و امکان-

برتری‌های نوینی را پیش‌روی کاربران قرار داده است. از برتری‌های نیروگاههای بادی این است که در طول مدت زمان عمر خود، سالهای زیادی انرژی را بدون نیاز به هزینه سوت خود تولید خواهد کرد، در حالی که هزینه دیگر منابع تولید انرژی در طول این سالها افزایش خواهد یافت.

فعالیت گسترده بسیاری از کشورهای جهان برای تولید الکتریسیته از انرژی باد، سرمشی برای دیگر کشورهایی است که در این زمینه راه درازی در پیش دارند. بسیاری از منابع اقتصادی در حال رشد، در منطقه آسیا واقع شده‌اند و اقتصاد رو به رشد کشورهای آسیایی از جمله ایران، باعث شده تا این کشورها بیش از پیش به تولید الکتریسیته احساس نیاز کرده و اقدام به تولید الکتریسیته از منابع غیرفسیلی کنند. افزون بر این موارد، نبود شبکه برق سراسری در بسیاری از بخش‌های روستایی در کشورهای آسیایی نیز مهر تأییدی بر سیستم‌های تولید الکتریسیته از انرژی باد زده است.

پس در خصوص دورنمای آینده اقتصادی استفاده از انرژی باد در ایران می‌باشد گفت استفاده از این انرژی موجب صرفه-جویی فرآورده‌های نفتی بعنوان سوت خود می‌شود. صرفه‌جویی حاصله در درجه اول موجب حفظ فرآورده‌های نفتی گشته که امکان صادرات و مهم‌تر اینکه تبدیل آنرا به مشقات بسیار زیاد پتروشیمی با ارزش افزوده بالا فراهم می‌سازد.

در درجه دوم تولید الکتریسیته از این انرژی، فاقد هرگونه آلودگی زیست محیطی بوده که همین عامل کمک شایانی به حفظ طبیعت سالم محیط زیست بشر نموده و در نتیجه مسیر برای نیل به توسعه پایدار اقتصادی، اجتماعی فراهم می‌گردد. استفاده از انرژی باد در ایران علاوه بر عمران و آبادانی موجبات ایجاد مشاغل جدید شده و بالاخره با بومی‌سازی فناوری انرژی باد اقتصاد کشور رشد بیشتری می‌پاید.

در پروژه تعیین پتانسیل باد ایران، ۲۶ منطقه کشور شامل ۴۵ سایت مورد مطالعه قرار گرفت که بر اساس نتایج این پروژه، ایران کشوری با باد متوسط است ولی برخی از مناطق آن دارای باد مناسب و مداومی برای تولید برق می‌باشد. توان بالقوه انرژی باد در سایتها مطالعه شده حدود ۶۵۰۰ مگاوات بوده و اکثر نقاط دارای پتانسیل در مناطق شرق کشور واقع شده-اند.<sup>[۲]</sup>

استان سیستان و بلوچستان امروزه به عنوان یکی از خشک‌ترین مناطق ایران به شمار می‌رود. میزان بارندگی از شرق به غرب استان افزایش می‌یابد و در نواحی ساحلی استان میزان رطوبت نسبی بسیار بالاست. استان سیستان و بلوچستان از جهات

<sup>۱</sup> Wind speed distribution function

کارهای انجام شده نشان می‌دهد که ضریب شکل در توزیع ویبول در بیشتر مناطق بادخیز دنیا بین ۱/۲ تا ۲/۷۵ می- باشد.<sup>[۱۶]</sup>

برای محاسبه مقادیر  $k$  و  $c$  یک راه حل ثابت وجود ندارد و متدهای مختلفی برای محاسبه این ضرایب با استفاده از  $\bar{U}$ ,  $\sigma_U$  و  $\Gamma(x)$  وجود دارد.

۱) روش نیمه‌تجربی جستوس<sup>۷</sup>

$$k = \left( \frac{\sigma_U}{\bar{U}} \right)^{-1.086} \quad (5)$$

$$c = \left( \frac{\bar{U}}{\Gamma(1 + 1/k)} \right) \quad (6)$$

۲) روش گرافیکی<sup>۸</sup>

مقادیر ضریب شکل  $k$  و ضریب مقیاس  $c$  توسط برازش منحنی بین داده‌های بادی قابل محاسبه است. در تحقیق حاضر این کار توسط نرمافزار متلب<sup>۹</sup> انجام شده است.تابع ویبول با دو متغیر ضریب شکل و ضریب مقیاس به نرم افزار داده شده و این دو متغیر به گونه‌ای تعیین می‌شوند که پارامتر RMSE (که در بخش ارزیابی توزیع ویبول توضیح داده می‌شود) بین تابع و مقادیر واقعی حداقل شود.

تابع توزیع ویبول نسبت به توابع توزیع دیگر دارای مزایایی می- باشد. از میان این مزایا می‌توان به موارد زیر اشاره کرد: (۱) انعطاف پذیری<sup>۱۰</sup> وابستگی به تنها دو پارامتر<sup>۱۱</sup> سادگی محاسبه پارامترها<sup>۱۲</sup> هنگامی که پارامترها تخمین زده شدند تابع ویبول به خوبی میان داده‌ها برازش می‌شود.<sup>[۱۵]</sup>

اشکال اساسی تابع توزیع ویبول برای سرعت‌های صفر و یا خیلی کم این است که احتمال وزش باد با سرعت‌های مذکور را به دقت نشان نمی‌دهد. برای تعیین پتانسیل نصب توربین‌های تجاری، ارائه احتمال وزش باد در این سرعت‌ها غیر ضروری است زیرا این توربین‌ها در سرعت‌هایی خیلی بیشتر از سرعت های باد آرام شروع به کار می‌کنند و بنابراین اثرات احتمالات در سرعت‌های پایین قابل صرف‌نظر است (سرعت شروع عملکرد توربین‌های تجاری بین ۲/۵ تا ۳/۵ متر بر ثانیه است)<sup>[۱۶]</sup>. همچنین از آنجایی که انرژی باد با مکعب سرعت رابطه دارد در سرعت‌های باد نزدیک صفر، توان باد بسیار کم و قابل صرف‌نظر است.

<sup>7</sup> Justus

<sup>8</sup> Graphical method

<sup>9</sup> MATLAB

سنگی اقتصادی سایت به راحتی قابل محاسبه است. اطلاعات بادی به دست آمده دارای دامنه گسترده‌ای است بنابراین در تحلیل انرژی باد، لازم است تا تنها چند پارامتر کلیدی برای توضیح دامنه وسیع داده‌های بادی داشته باشیم.<sup>[۱۶]</sup>

ساده‌ترین و کاربردی‌ترین روش برای روند اشاره شده استفاده از تابع توزیع است. توابع ریاضی زیادی وجود دارند که می‌توانند برای مدل کردن منحنی سرعت باد به کار روند. در مطالعات توان باد، معمولاً از توابع چگالی احتمال ویبول<sup>۱۲</sup> و رایلی<sup>۱۳</sup> استفاده می‌شود. در این مطالعه تنها از تابع ویبول استفاده شده است زیرا رایلی تنها زیر مجموعه‌ای از آن است.

تعیین تابع چگالی احتمال ویبول احتیاج به محاسبه دو ضریب دارد: ضریب بدون بعد شکل<sup>۱۴</sup> و ضریب مقیاس<sup>۱۵</sup>. تمامی این ضرایب توابعی از  $\bar{U}$ ,  $\sigma_U$  و  $\Gamma(x)$  می‌باشند که  $\sigma_U$  انحراف معیار است و با توجه به رابطه زیر قابل محاسبه است که در آن  $N$  تعداد داده‌های ثبت شده می‌باشد.

$$\sigma_U = \sqrt{\frac{1}{N-1} \sum_{i=1}^N (U_i - \bar{U})^2} \quad (1)$$

$\bar{U}$  متوسط سرعت باد است و توسط رابطه زیر قابل محاسبه است:

$$\bar{U} = \frac{1}{N} \left[ \sum_{i=1}^N U_i \right] \quad (2)$$

و  $\Gamma(x)$ ، تابع گاما<sup>۱۶</sup> است که توسط انتگرال زیر تعریف می- شود.

$$\Gamma(x) = \int_0^{\infty} t^{x-1} e^{-t} dt \quad (3)$$

در نهایت تابع چگالی احتمال ویبول توسط رابطه زیر قابل محاسبه است.

$$P(U) = \left( \frac{k}{c} \right) \left( \frac{U}{c} \right)^{k-1} \exp \left( - \left( \frac{U}{c} \right)^k \right) \quad (4)$$

به طور اساسی ضریب شکل  $c$  نشان می‌دهد که چه مقدار یک منطقه بادخیز است در حالیکه ضریب مقیاس  $k$  نشان می‌دهد که تابع توزیع سرعت باد تا چه اندازه به صورت قله‌ای می‌باشد، به این معنا که هر اندازه مقادیر سرعت باد به یک مقدار خاص نزدیک‌تر باشد مقدار  $k$  بزرگ‌تر می‌شود. یک مطالعه روی

<sup>2</sup> Weibull

<sup>3</sup> Rayleigh

<sup>4</sup> Shape factor

<sup>5</sup> Scale factor

<sup>6</sup> Gamma function

جدول ۲: مقایسه بین ضرایب ویبول محاسبه شده توسط روش گرافیکی و روش جستوس در سه ایستگاه استان سیستان و بلوچستان در ارتفاع‌های مختلف

روش نیمه تجربی جستوس				روش گرافیکی				انحراف معيار (m/s)	متوجه ساليانه سرعت باد (m/s)	(m)	ارتفاع	ايستگاه
R2	RMSE	ضريرب مقیاس	ضريرب شکل	R2	RMSE	ضريرب مقیاس	ضريرب شکل					
۰/۹۳۱۵	۰/۰۱۳۷۷	۴/۱۳	۱/۱۳	۰/۹۳۱۴	۰/۰۱۳۳۶	۴/۴۲	۱/۳	۲/۹۲	۳/۸۰	۱۰	خاش	
۰/۹۴۸۸	۰/۰۱۱۴۲	۴/۷۴	۱/۴۰	۰/۹۴۸۸	۰/۰۱۰۴۹	۴/۹۶	۱/۳۲	۳/۱۶	۴/۳۲	۳۰		
۰/۹۴۵۵	۰/۰۱۱۵۳	۵/۰۲	۱/۴۲	۰/۹۴۵۴	۰/۰۱۰۹۴	۵/۲۳	۱/۳۵	۳/۳۱	۴/۵۷	۴۰		
۰/۸۲۷۶	۰/۰۲۱۴۸	۴/۹۹	۱/۳۸	۰/۸۲۷۷	۰/۰۲۱۵۴	۴/۹۲	۱/۴۰	۳/۳۸	۴/۵۶	۱۰		
۰/۸۷۱۰	۰/۰۱۶۳۱	۶/۹۸	۱/۵۵	۰/۸۷۱۲	۰/۰۱۵۹۳	۶/۵۴	۱/۵۷	۴/۲۰	۶/۲۸	۳۰	لوتك	
۰/۹۱۴۷	۰/۰۱۲۷۶	۷/۲۷	۱/۵۵	۰/۹۱۴۹	۰/۰۱۱۸۱	۶/۶۷	۱/۶۰	۴/۳۷	۶/۵۴	۴۰	نصرت آباد	
۰/۹۷۰۳	۰/۰۰۸۶۵	۵/۴۱	۱/۷۳	۰/۹۷۰۱	۰/۰۰۷۳۷	۵/۶۶	۱/۸۲	۲/۹۱	۴/۸۲	۳۰		
۰/۹۷۴۱	۰/۰۰۸۰۰	۵/۶۰	۱/۷۰	۰/۹۷۴۰	۰/۰۰۶۸۷	۵/۷۷	۱/۸۱	۳/۰۷	۵/۰۰	۴۰		

$$R^2 = 1 - \frac{\sum_{i=1}^N (y_i - \bar{y})^2}{(y_i - \bar{y})^2} \quad (8)$$

در این روابط،  $N$  تعداد کل نتایج مشاهداتی،  $y_i$  مقدار واقعی  $y$ ،  $x_i$  مقادیر محاسبه شده توسط رابطه ارایه شده برای همان مقدار  $y$  و  $\bar{y}$  مقدار متوجه مقادیر  $y_i$  است.

### ۳. نتایج

#### ۱.۳ نتایج توزیع ویبول

جدول ۲ ضرایب ویبول را برای ایستگاه‌های خاش، لوتك و نصرتآباد برای سه ارتفاع مختلف نشان می‌دهد. همانطور که از این جدول پیداست متوجه ساليانه ضریب شکل  $k$  بین  $۱/۳$  و  $۶/۶۷$  و متوجه ساليانه ضریب مقیاس بین  $۴/۴۲$  و  $۱/۸۲$  می‌باشد. بالاترین سرعت باد در لوتك و ارتفاع  $۴۰$  متر و پایین‌ترین سرعت باد در خاش و ارتفاع  $۱۰$  متر وجود دارد. کمترین میزان انحراف معيار  $\sigma_u$  در تمامی ارتفاع‌ها در نصرتآباد رخ می‌دهد و این نشان می‌دهد سرعت‌های باد ثبت شده به میانگین سرعت باد در آن منطقه نزدیک است.

با توجه به معیارهای ارزیابی، روش گرافیکی نتایج بهتری را نسبت به روش جستوس ارایه می‌دهد. بیشترین میزان خطای RMSE در لوتك و ارتفاع  $۱۰$  متر با مقدار  $۰/۲۱۵$ ٪ رخ داده است.

شكلهای ۳ تا ۵ چگالی توزیع واقعی سرعت باد و چگالی توزیع ویبول با استفاده از دو روش گرافیکی و جستوس را برای سه ایستگاه خاش، لوتك و نصرتآباد در ارتفاع  $۴۰$  متر نشان می‌دهد. لوتك دارای فراوانی بیشتری در سرعت‌های بالا است.

اطلاعات بادی استفاده شده در این تحقیق شامل مقادیر سرعت باد با فواصل زمانی  $۱۰$  دقیقه در سه ارتفاع  $۱۰$  متر،  $۳۰$  متر و  $۴۰$  متر بالای سطح زمین برای سه منطقه خاش، لوتك و نصرتآباد می‌باشد. اطلاعات یاد شده توسط سازمان انرژی‌های نو جمهوری اسلامی ایران<sup>[۱۷]</sup> برای فاصله زمانی دسامبر  $۲۰۰۶$  تا نوامبر  $۲۰۰۷$  در ایستگاه خاش و نصرتآباد و اکتبر  $۲۰۰۸$  تا سپتامبر  $۲۰۰۹$  در ایستگاه لوتك اندازه‌گیری شده است.

#### ۲.۲ ارزیابی توزیع ویبول

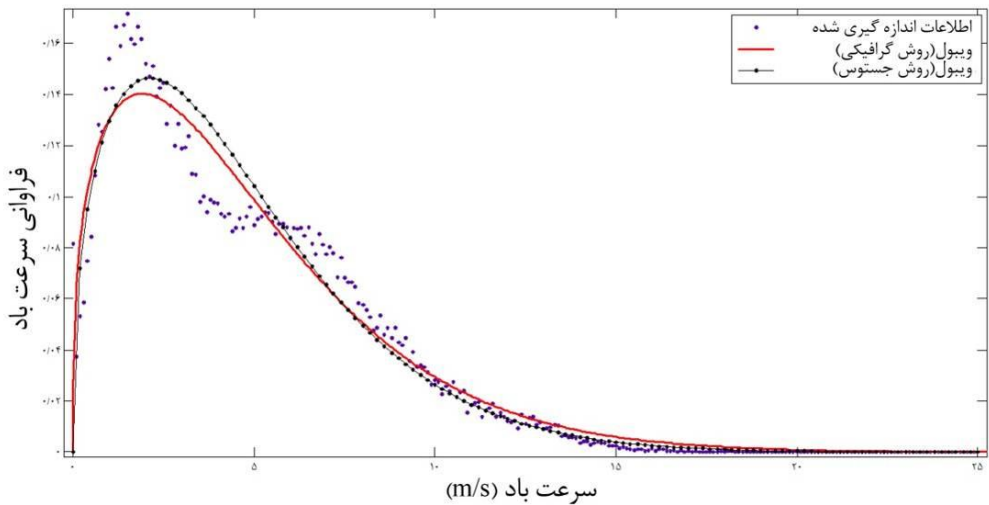
ارزیابی یک مدل آماری نشان می‌دهد تا چه اندازه تابع توانسته به داده‌های اندازه‌گیری شده برآذش شود. متأسفانه روش‌های استاندارد خاصی برای ارزیابی برآذش وجود ندارد در نتیجه روش‌های متفاوتی برای این کار به وجود آمده‌اند. در تحقیق حاضر از روش RMSE<sup>۱۰</sup> که یکی از روش‌های معروف است استفاده شده است.

پارامتر RMSE میزان انحراف بین مقادیر مشاهداتی و مقادیر پیش‌بینی شده را نشان می‌دهد. این پارامتر باید تا حد امکان نزدیک صفر باشد و به این صورت محاسبه می‌شود.

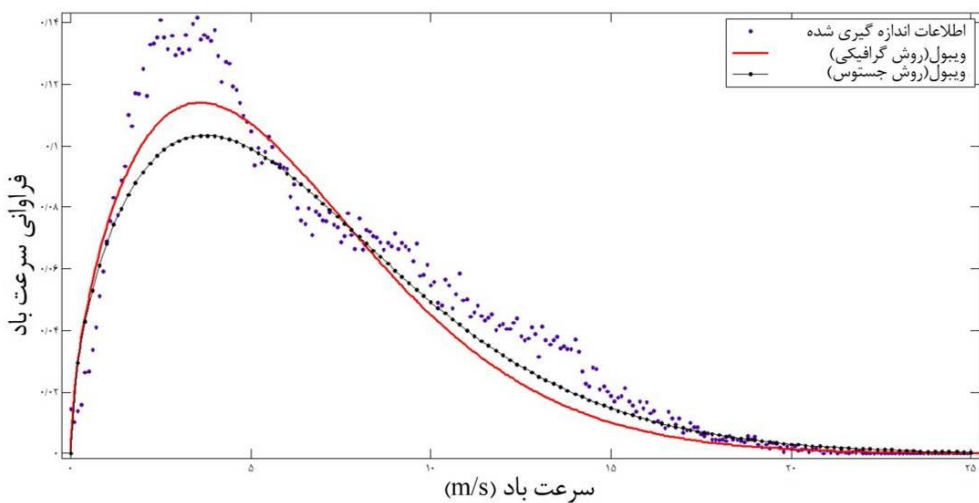
$$RMSE = \sqrt{\frac{\sum_{i=1}^N (y_i - x_i)^2}{N}} \quad (7)$$

روش دیگر برای ارزیابی تابع ویبول استفاده از پارامتر R2 می‌باشد. این پارامتر باید تا حد امکان نزدیک یک باشد و به این صورت محاسبه می‌شود.

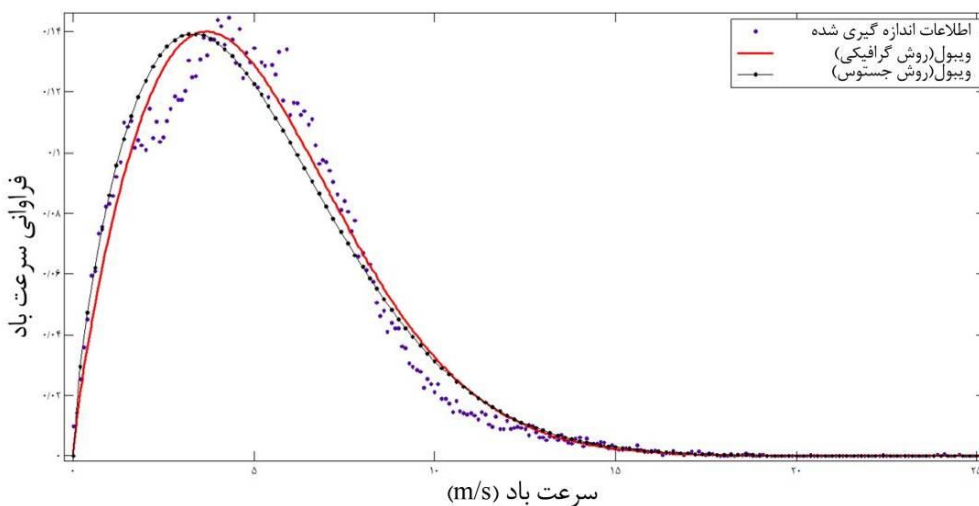
<sup>10</sup> Root mean square error



شکل ۳: مقایسه چگالی احتمال واقعی و چگالی احتمال توزیع ویبول برای ایستگاه خاش در دوره آماری- ارتفاع ۴۰ متر



شکل ۴: مقایسه چگالی احتمال واقعی و چگالی احتمال توزیع ویبول برای ایستگاه لوتک در دوره آماری- ارتفاع ۴۰ متر

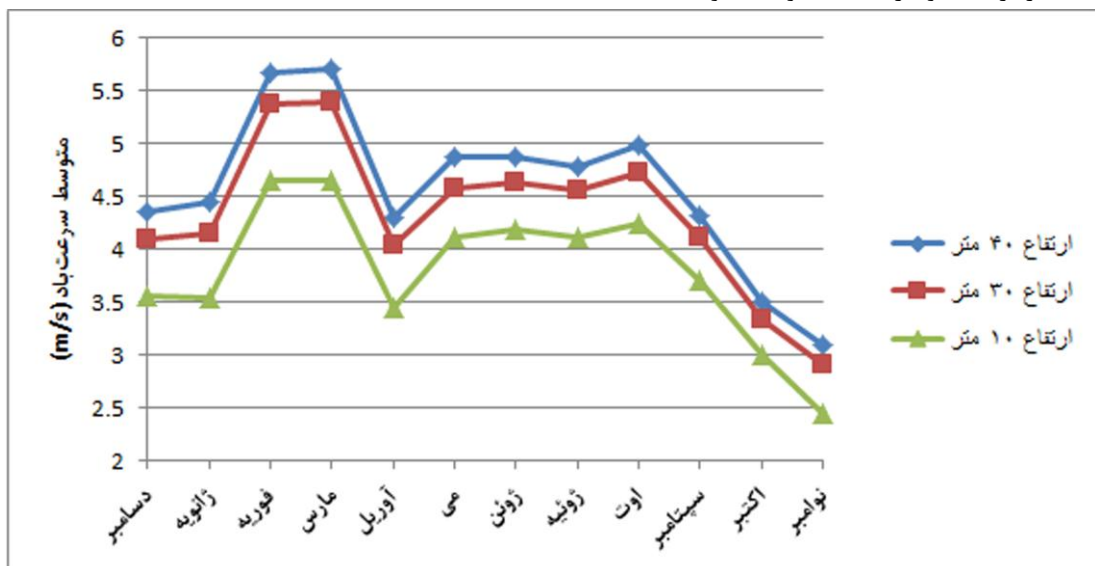


شکل ۵: مقایسه چگالی احتمال واقعی و چگالی احتمال توزیع ویبول برای ایستگاه نصرت‌آباد در دوره آماری- ارتفاع ۴۰ متر

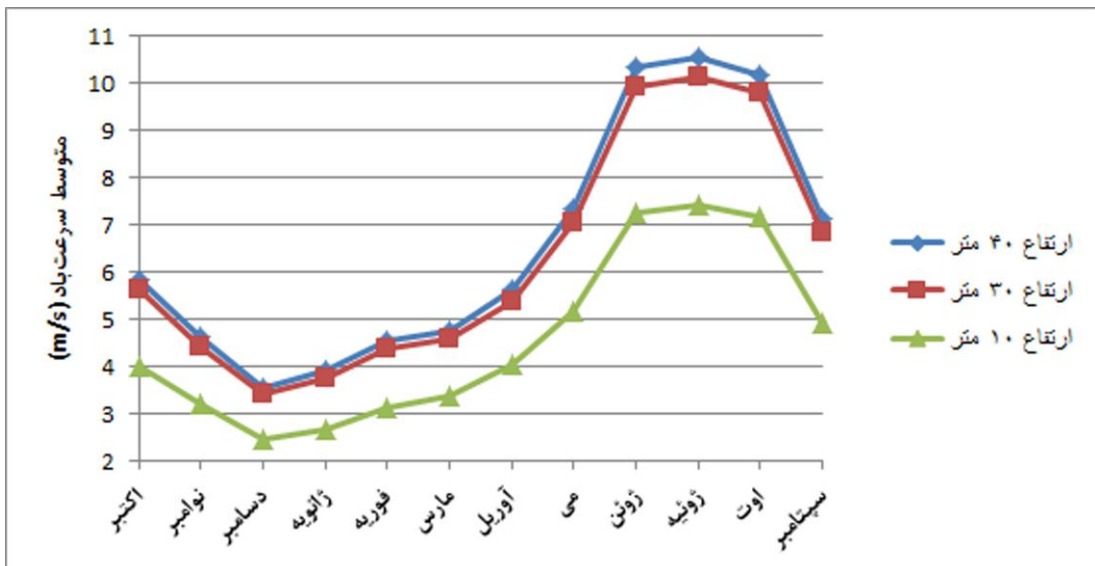
سرعت باد در ارتفاع ۱۰ متر بر ثانیه، در ارتفاع ۳۰ متر ۶/۲۸ متر بر ثانیه و در ارتفاع ۴۰ متر ۶/۵۴ متر بر ثانیه است. در ایستگاه نصرتآباد متوسط سالیانه سرعت باد در ارتفاع ۳۰ متر ۴/۸۲ متر بر ثانیه و در ارتفاع ۴۰ متر ۵/۰۰ متر بر ثانیه می‌باشد. به طور استاندارد بادهای با سرعت کمتر از ۰/۲ متر بر ثانیه را باد آرام می‌گویند. بر این اساس در طول سال درصد باد آرام در ارتفاعهای ۱۰، ۳۰ و ۴۰ متر در ایستگاه خاش به ترتیب٪ ۰/۸۴، ۰/۰۹ و ۰/۷ و در ایستگاه لوتک٪ ۰/۴۲، ۰/۳۴ و ۰/۳۴ می‌باشد. همچنین در ایستگاه نصرتآباد درصد باد آرام به ترتیب٪ ۰/۹ و٪ ۰/۵۱ در ارتفاعهای ۳۰ و ۴۰ متر می‌باشد.

### ۲.۳. بررسی سرعت باد متوسط ماهیانه

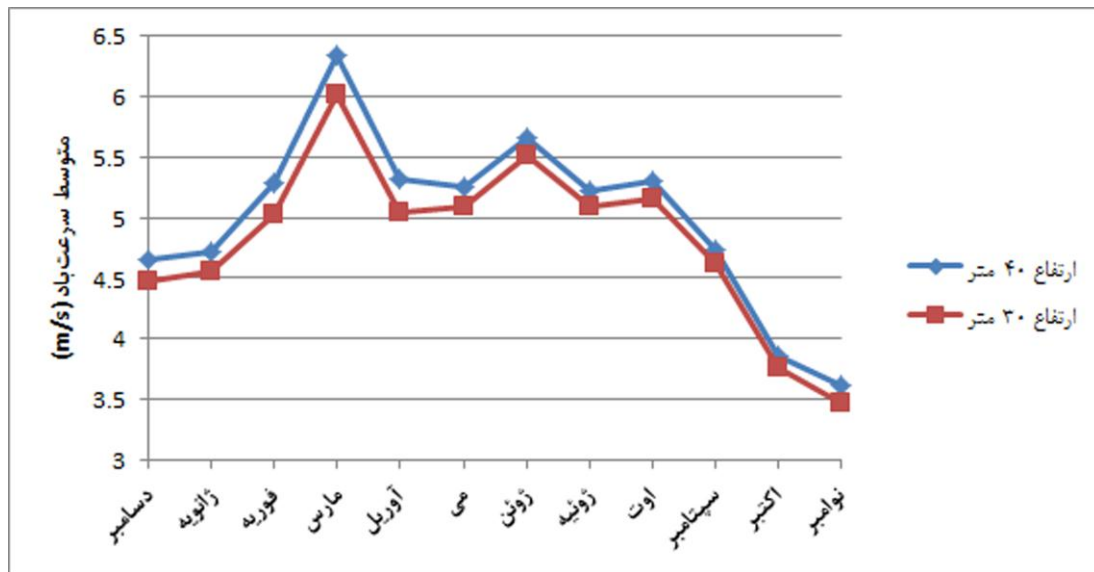
در شکل‌های ۶ تا ۸ سرعت متوسط ماهیانه برای سه ایستگاه در ارتفاعهای مختلف آورده شده است. همانطور که از نتایج آشکار است در ایستگاه خاش، باد با سرعت بیشتری در ماههای مارس و فوریه می‌وزد در حالیکه در ایستگاه لوتک ماههای زوئن، زوئیه و اوت بادخیزترین ماههایست و در ایستگاه نصرتآباد ماه مارس دارای بیشترین سرعت باد است. همانطور که از جدول ۲ نمایان است در ایستگاه خاش متوسط سالیانه سرعت باد در ارتفاع ۱۰ متر بر ثانیه، در ارتفاع ۳۰ متر ۴/۳۲ متر بر ثانیه و در ارتفاع ۴۰ متر ۴/۵۷ متر بر ثانیه و در ایستگاه لوتک متوسط سالیانه



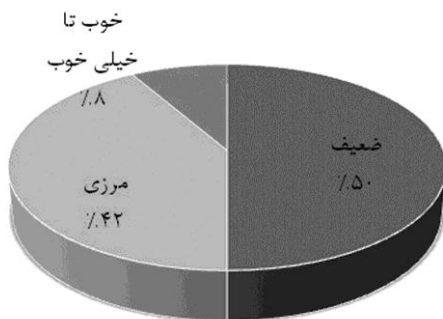
شکل ۶: تغییرات سرعت باد متوسط ماهانه در بازه زمانی دسامبر ۲۰۰۶ تا نویبر ۲۰۰۷ در سه ارتفاع مختلف- ایستگاه خاش



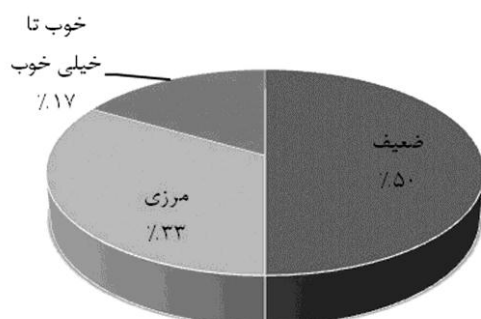
شکل ۷: تغییرات سرعت باد متوسط ماهانه در بازه زمانی اکتبر ۲۰۰۸ تا سپتامبر ۲۰۰۹ در سه ارتفاع مختلف- ایستگاه لوتک



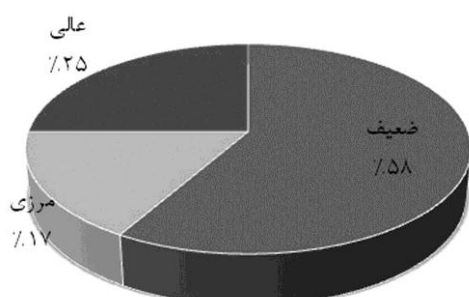
شکل ۸: تغییرات سرعت باد متوسط ماهانه در بازه زمانی دسامبر ۲۰۰۶ تا نوامبر ۲۰۰۷ در دو ارتفاع مختلف- ایستگاه نصرت آباد



شکل ۱۰: ارزیابی بادخیزی ایستگاه خاش در ارتفاع ۳۰ متر

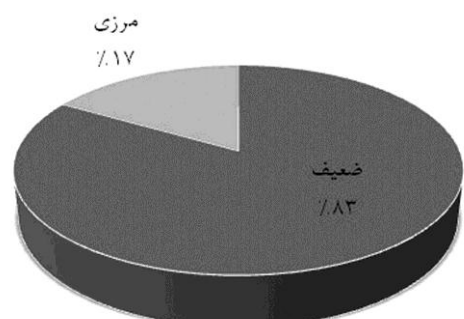


شکل ۱۱: ارزیابی بادخیزی ایستگاه خاش در ارتفاع ۴۰ متر



شکل ۱۲: ارزیابی بادخیزی ایستگاه لوتک در ارتفاع ۱۰ متر

پتانسیل انرژی باد برای نصب توربین بادی در سرعت متوسط کمتر از  $4/5$  متر بر ثانیه ضعیف،  $4/5$  تا  $5/4$  متر بر ثانیه مرزی،  $5/4$  تا  $6/7$  متر بر ثانیه خوب تا خیلی خوب و برای سرعتهای بالاتر از  $6/7$  متر بر ثانیه عالی ارزیابی می‌شود.<sup>[۵]</sup> در شکل‌های ۹ تا ۱۶ میزان بادخیزی سه ایستگاه خاش، لوتک و نصرت‌آباد در ارتفاع‌های مختلف بر اساس معیار ذکر شده طبقه‌بندی شده است. همانطور که از نتایج آشکار است ایستگاه لوتک دارای پتانسیل مناسب‌تری برای نصب توربین بادی می‌باشد.



شکل ۹: ارزیابی بادخیزی ایستگاه خاش در ارتفاع ۱۰ متر

### ۳.۳. بررسی تغییرات چگالی توان متوسط ماهیانه

محاسبه چگالی توان باد برای تعیین پتانسیل یک منطقه برای نصب توربین بادی بسیار مهم است زیرا مشخص می‌کند آن منطقه چه مقدار انرژی بر واحد زمان و واحد مساحت جارو شده<sup>۱۱</sup> توسط پرهای توربین برای تبدیل به الکتریسیته فراهم می‌کند.<sup>[۱۱]</sup>

همانطور که در بسیاری از منابع آمده است توان باد با مکعب سرعت رابطه دارد و توسط رابطه زیر بیان می‌شود:

$$P(U) = \frac{1}{2} \rho A \bar{U}^3 \quad (9)$$

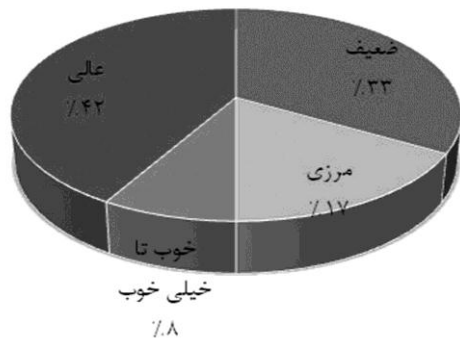
در این رابطه  $\rho$  چگالی هوا در ارتفاع سطح دریا و  $A$  دمای  $15^\circ C$ ,  $\bar{U}^3$  متوسط مکعب سرعت باد و  $P$  مساحت جارو شده می‌باشد. چگالی هوا ثابت نیست و تابعی از درجه حرارت و فشار است که این عوامل با ارتفاع تغییر می‌کند. بنابراین جهت تعیین پتانسیل باد در منطقه‌ای با ارتفاع  $Z$  از سطح دریا بایستی چگالی هوا در آن منطقه توسط رابطه زیر محاسبه شود<sup>[۱۲]</sup>

$$\rho = \frac{\rho_0 T_0}{T} \left(1 - \frac{\Gamma Z}{T_0}\right)^{\frac{g}{\Gamma R}} \quad (10)$$

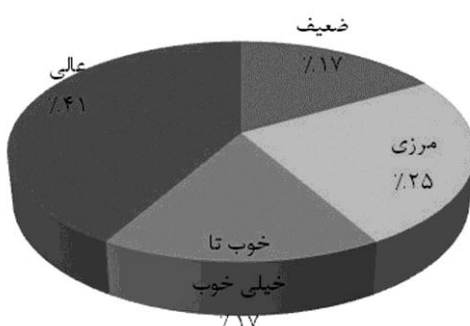
که در آن  $m/s^2$   $g = 9.81$   $m/s^2$  شتاب ثقل،  $R = 9.81 J/K.kg$  دما بر حسب کلوین،  $T_0 = 288 K$  (۲۷۳+۱۵)  $K$  تغییرات دمای عمودی است که معمولاً برابر  $6/5 K/km$  در نظر گرفته می‌شود. ارتفاع از سطح دریا و دریا و متوسط دمای سالیانه ایستگاه‌های مورد مطالعه در جدول ۳ آمده است.

جدول ۳: ارتفاع از سطح دریا و متوسط دمای سالیانه ایستگاه‌های مورد مطالعه

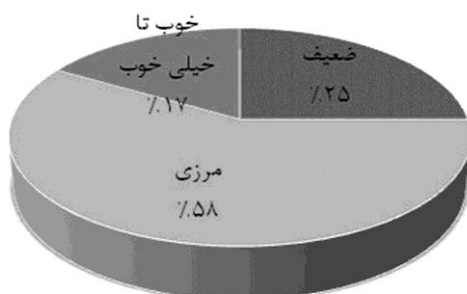
ایستگاه	ارتفاع از سطح دریا (متر)	دمای متوسط سالیانه (سانتیگراد)
خاش	۱۴۰۹	۲۰/۸
لوتك	۴۶۵	۲۳/۶
نصرت آباد	۱۱۰۵	۲۱/۸



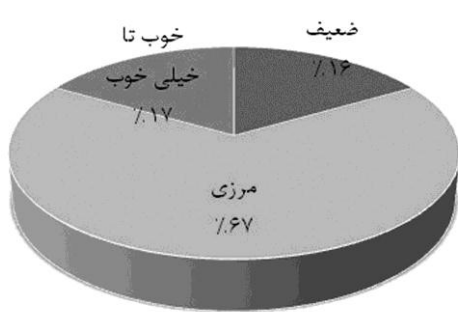
شکل ۱۳: ارزیابی بادخیزی ایستگاه لوتک در ارتفاع ۳۰ متر



شکل ۱۴: ارزیابی بادخیزی ایستگاه لوتک در ارتفاع ۴۰ متر



شکل ۱۵: ارزیابی بادخیزی ایستگاه نصرت‌آباد در ارتفاع ۳۰ متر



شکل ۱۶: ارزیابی بادخیزی ایستگاه نصرت‌آباد در ارتفاع ۴۰ متر

<sup>۱۱</sup>Swept area

آورده شده است. چگالی توان متوسط سالیانه در ایستگاه خاش ۸۶ وات بر مترمربع در ارتفاع ۱۰ متر، ۱۱۴ وات بر مترمربع در ارتفاع ۳۰ متر و ۱۳۲ وات بر مترمربع در ارتفاع ۴۰ متر است. همچنین چگالی توان متوسط سالیانه در ایستگاه نصرت آباد ۱۲۵ وات بر مترمربع در ارتفاع ۳۰ متر و ۱۴۴ وات بر مترمربع در ارتفاع ۴۰ متر است. در ایستگاه لوتک چگالی توان متوسط سالیانه ۱۵۷ وات بر مترمربع در ارتفاع ۱۰ متر، ۳۴۴ وات بر مترمربع در ارتفاع ۳۰ متر و ۳۸۸ وات بر مترمربع در ارتفاع ۴۰ متر است.

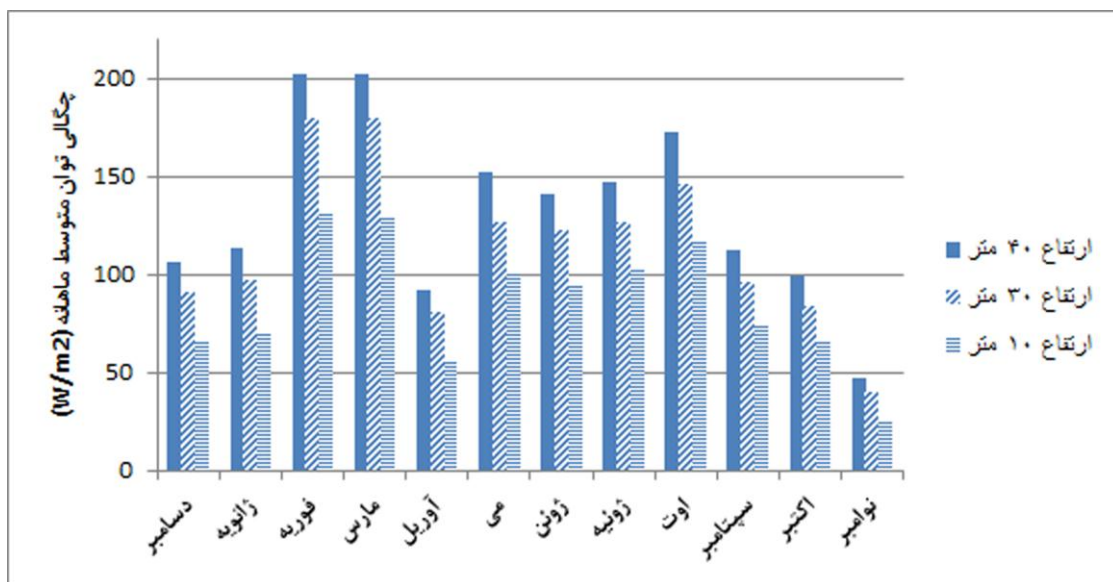
با استفاده از معادله ۱۰ متوسط سالیانه چگالی هوا برابر  $1013 \text{ kg/m}^3$  برای ایستگاه خاش،  $1125 \text{ kg/m}^3$  برای ایستگاه لوتک و  $1048 \text{ kg/m}^3$  برای ایستگاه نصرت آباد برآورد شده است.

بنابراین چگالی توان باد یک شاخصه بهتر نسبت به سرعت باد می‌باشد. چگالی متوسط توان باد بر مبنای سرعت توسط رابطه زیر بیان می‌شود<sup>[۱۸]</sup>:

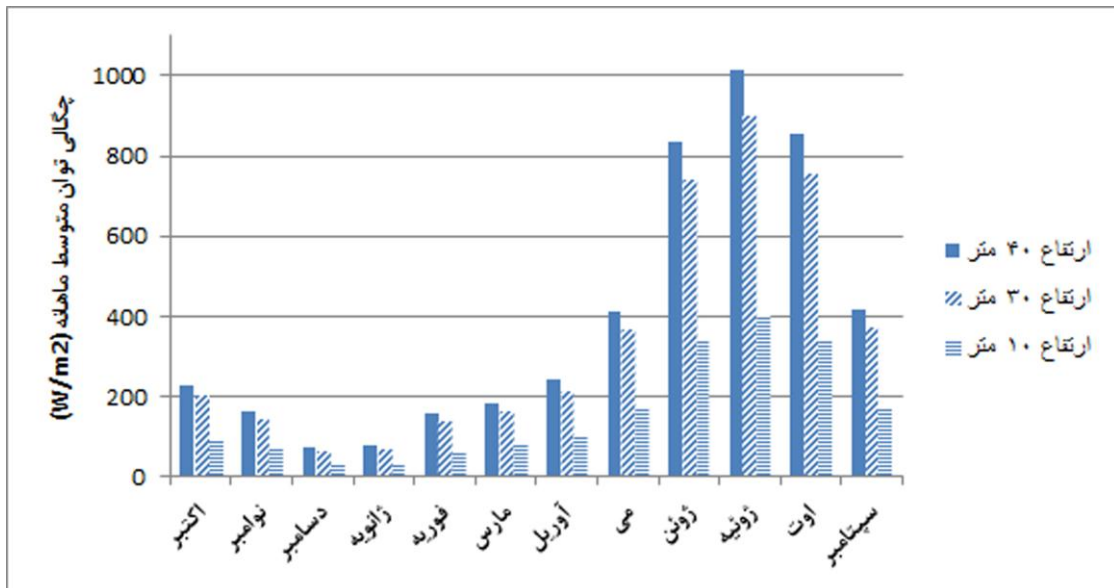
$$WPD = \frac{\sum_{i=1}^N \frac{1}{2} \rho A U_i^3}{N} \quad (11)$$

که در این فرمول  $\dot{N}$  بیانگر فواصل ده دقیقه‌ای ثبت سرعت باد و  $N$  بیانگر تعداد کل داده‌های ثبت شده است.

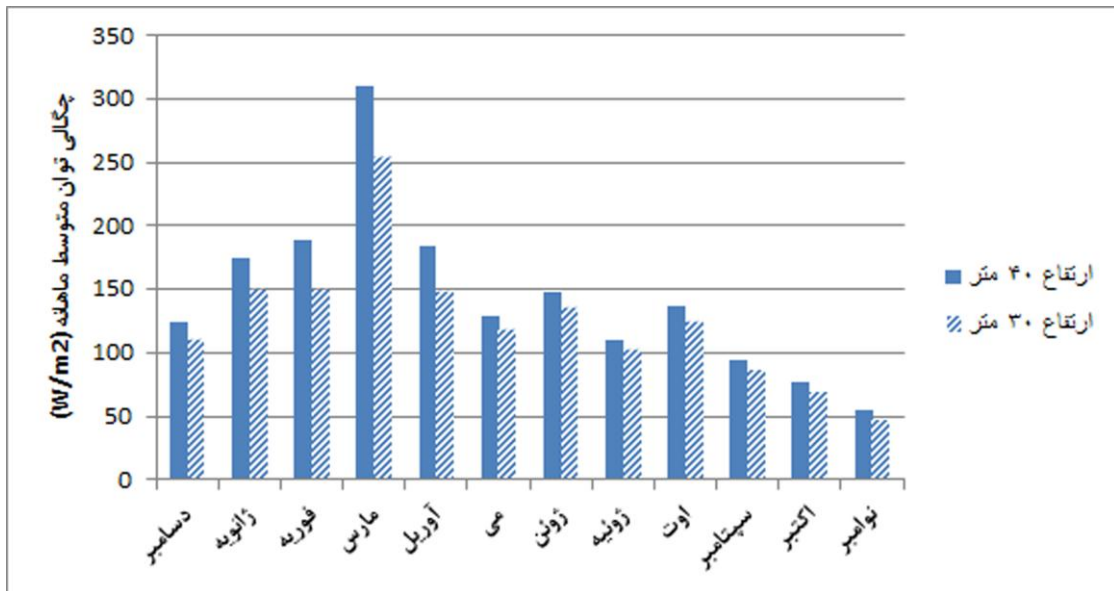
در شکل‌های ۱۷ تا ۱۹ متوسط چگالی توان ماهانه برای ارتفاعات مختلف در ایستگاه‌های مورد مطالعه



شکل ۱۷: تغییرات چگالی توان متوسط ماهانه ( $\text{W/m}^2$ ) - ایستگاه خاش



شکل ۱۸: تغییرات چگالی توان متوسط ماهانه ( $W/m^2$ ) - ایستگاه لوتک



شکل ۱۹: تغییرات چگالی توان متوسط ماهانه ( $W/m^2$ ) - ایستگاه نصرت آباد

نمودار چندین رنگ خاص را نشان می‌دهد که محدوده سرعت باد را نشان می‌دهد. خطوط بلندتر جهت باد غالب را نشان می‌دهد.<sup>[۱۶]</sup> در شکل‌های زیر گلbad بر اساس زمان (فراوانی) وزش در ارتفاع ۳۰ متری نشان داده شده است.

#### ۴.۳. گلbad

گلbad<sup>[۱۷]</sup> نموداری است که توزیع جهت باد را به همراه سرعت در منطقه نشان می‌دهد. نمودار گلbad یکی از ابزارهای معمول برای بیان اطلاعات بدست آمده از بادسنج‌ها می‌باشد (سرعت و جهت باد). نمودار نشان داده شده معمول ترین شکل گلbad است که شامل دوازیر متعددالمرکز با ۱۶ فاصله زاویه‌ای مساوی می‌باشد و طول شعاع متناسب با فراوانی باد می‌باشد. راهنمای

<sup>[۱۶]</sup>Wind Rose

به جهت جنوب غربی، در ایستگاه لوتک به جهت شمال و در ایستگاه نصرت آباد به جهت شرق می‌باشد.

#### ۴. نتیجه‌گیری

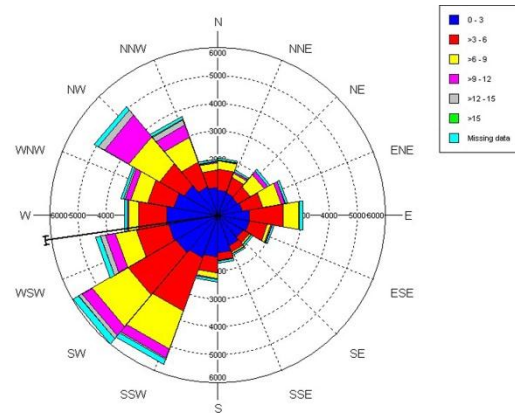
در این تحقیق داده‌های بادی در سه ایستگاه خاش، لوتک و نصرت آباد در استان سیستان و بلوچستان ارزیابی شده است و نتایج زیر به دست آمده است

✓ درتابع توزیع ویبول متوسط سالیانه ضریب شکل  $k$  بین  $1/3$  و  $1/82$  و متوسط سالیانه ضریب مقیاس بین  $4/42$  و  $6/67$  می‌باشد. با توجه به معیارهای ارزیابی، روش گرافیکی نتایج بهتری را نسبت به روش جستوس ارایه می‌دهد. بیشترین میزان خطای RMSE در لوتک و ارتفاع ۱۰ متر با مقدار  $2/15\%$  رخ داده است.

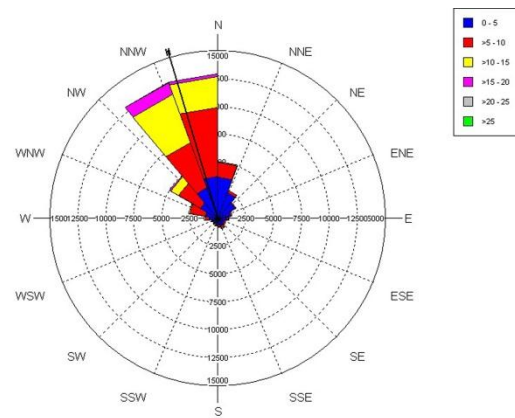
✓ در ایستگاه خاش متوسط سالیانه سرعت باد در ارتفاع ۱۰ متر  $3/80$  متر بر ثانیه، در ارتفاع  $30$  متر  $4/32$  متر بر ثانیه و در ارتفاع  $40$  متر  $4/57$  متر بر ثانیه و در ایستگاه لوتک متوسط سالیانه سرعت باد در ارتفاع  $10$  متر  $4/56$  متر بر ثانیه، در ارتفاع  $30$  متر  $6/28$  متر بر ثانیه و در ارتفاع  $40$  متر  $6/54$  متر بر ثانیه است. در ایستگاه نصرت آباد متوسط سالیانه سرعت باد در ارتفاع  $30$  متر  $4/82$  متر بر ثانیه و در ارتفاع  $40$  متر  $5/00$  متر بر ثانیه می‌باشد.

✓ چگالی توان متوسط سالیانه در ایستگاه خاش  $86$  وات بر مترمربع در ارتفاع  $10$  متر،  $114$  وات بر مترمربع در ارتفاع  $30$  متر و  $132$  وات بر مترمربع در ارتفاع  $40$  متر است. همچنین چگالی توان متوسط سالیانه در ایستگاه نصرت آباد  $125$  وات بر مترمربع در ارتفاع  $30$  متر و  $144$  وات بر مترمربع در ارتفاع  $40$  متر است. در ایستگاه لوتک چگالی توان متوسط سالیانه  $157$  وات بر مترمربع در ارتفاع  $10$  متر،  $344$  وات بر مترمربع در ارتفاع  $30$  متر و  $388$  وات بر مترمربع در ارتفاع  $40$  متر است

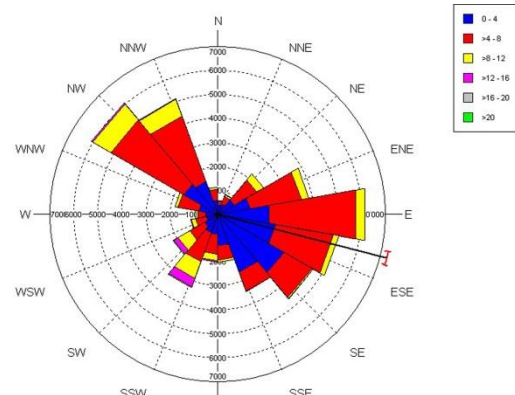
✓ در ایستگاه خاش باد غالب به جهت جنوب غربی، در ایستگاه لوتک به جهت شمال و در ایستگاه نصرت آباد به جهت مشرق می‌باشد



شکل ۲۰: گلباد براساس فراوانی وزش باد در ارتفاع  $30$  متر در ایستگاه خاش



شکل ۲۱: گلباد براساس فراوانی وزش باد در ارتفاع  $30$  متر در ایستگاه لوتک



شکل ۲۲: گلباد براساس فراوانی وزش باد در ارتفاع  $30$  متر در ایستگاه نصرت آباد

در شکل‌های ۲۰ تا ۲۲ گلباد بر اساس اطلاعات سالیانه سرعت و جهت باد رسم شده است. همانطور که از شکل‌ها مشخص است در ایستگاه خاش باد غالب

*a power generation source in the capital of Iran*", Tehran, Energy, 35(1), pp. 188-201 (2010).

[10] Akdağ, SA., and Dinler, A., "A new method to estimate Weibull parameters for wind energy applications". Energy Conversion and Management, 50(7), pp. 1761-1766 (2009).

[11] Fyriplis, I., Axaopoulos, PJ. et al, "Wind energy potential assessment in Naxos Island". Greece. Applied Energy, 87(2), pp. 577-586 (2010).

[12] Ucar, A. and Balo, F., "Evaluation of wind energy potential and electricity generation at six locations in Turkey". Applied Energy, 86(10), pp. 1864-1872 (2009).

[13] Jowder, F., "Wind power analysis and site matching of wind turbine generators in Kingdom of Bahrain". Applied Energy, 86(4), pp. 538-545 (2009).

[14] Eskin, N., Artar, H. et al, "Wind energy potential of Gökçeada Island in Turkey", J Renew Sustain Energy Rev, 12(3), pp. 839-851 (2008).

[15] Carta, JA., Ramírez, P. et al, "A review of wind speed probability distributions used in wind energy analysis". J Renew Sustain Energy Rev, 13(5), pp. 933-955 (2009).

[16] Mirhosseini, M., Sharifi, F. et al, "Assessing the wind energy potential locations in province of Semnan in Iran". J Renew Sustain Energy Rev, 15, pp. 449-459 (2011).

[17] Renewable Energy Organization of Iran, <http://www.suna.org.ir/>

[18] Rehman, sh., Al-Abbad, N, "Wind shear coefficients and energy yield for Dhahran, Saudi Arabia". Renew Energy, 32, pp. 738-749 (2007).

✓ طبق نتایج ایستگاه لوتک دارای پتانسیل بالایی برای نصب مزرعه بادی است در حالیکه خاش و نصرت آباد برای نصب گسترده توربین بادی مناسب نیستند اما برای استفاده محلی از انرژی باد برای به کارگیری سیستم‌های الکتریکی و مکانیکی بسیار مناسبند.

#### منابع

[1]Saghafi, M., "Modern Renewable Energies", Tehran University Press (2003).

[2]<http://www.re-energy.ca>

[3]Rahimzadeh, F. and Jahangiri, Z., "How to Identify Suitable Wind Farming Location in Iran", 3rd Conference on Energy Conservation in Building, Tehran, Iran, (2004).

[4][http://en.wikipedia.org/wiki/Sistan\\_and\\_Baluchestan\\_Province](http://en.wikipedia.org/wiki/Sistan_and_Baluchestan_Province)

[5]James, F. Manwell, Jon G. McGowan, Anthony, L. Rogers, "Wind Energy Explained: Theory, Design and Application", John Wiley & Sons, p.11 (2009).

[6]Togrul, IT. and Ertekin, C. A, "Statistical Investigation on the Wind Energy Potential of Turkey's Geographical Regions", Energy Sources, Part A: Recovery, Utilization, and Environmental Effects, 33(15), pp. 1399-1421 (2011).

[7]Akdağ, SA., Bagiorgas, HS. et al., "Use of two-component Weibull mixtures in the analysis of wind speed in the Eastern Mediterranean". Applied Energy, 87(8), pp. 2566-2573 (2010).

[8]Zhou, J., Erdem, E. et al, "Comprehensive evaluation of wind speed distribution models: A case study for North Dakota sites", Energy Conversion and Management, 51(7), pp. 1449-1458 (2010).

[9]Keyhani, A., Ghasemi, M. et al, "An assessment of wind energy potential as